

Angewandtes Maschinelles Lernen: Erkennung und Lokalisierung von Leckstellen in Wassernetzen

Andrea Maldonado

@andreamalhera

Praktikum Innovative Mobile Applications: "Gruppe A wie Anomalie"

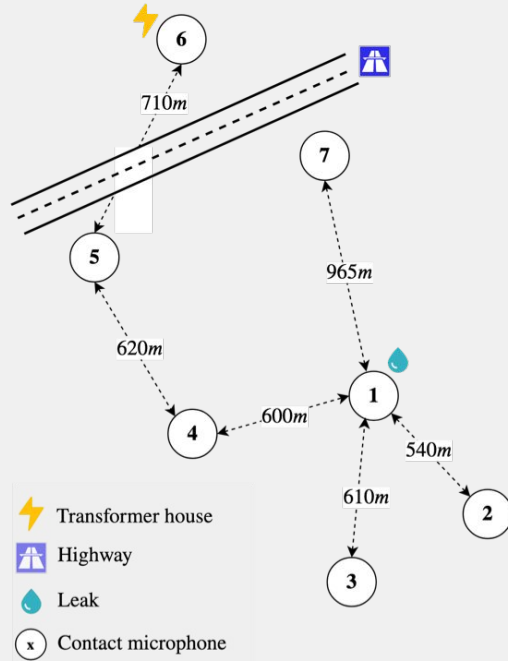


Motivation



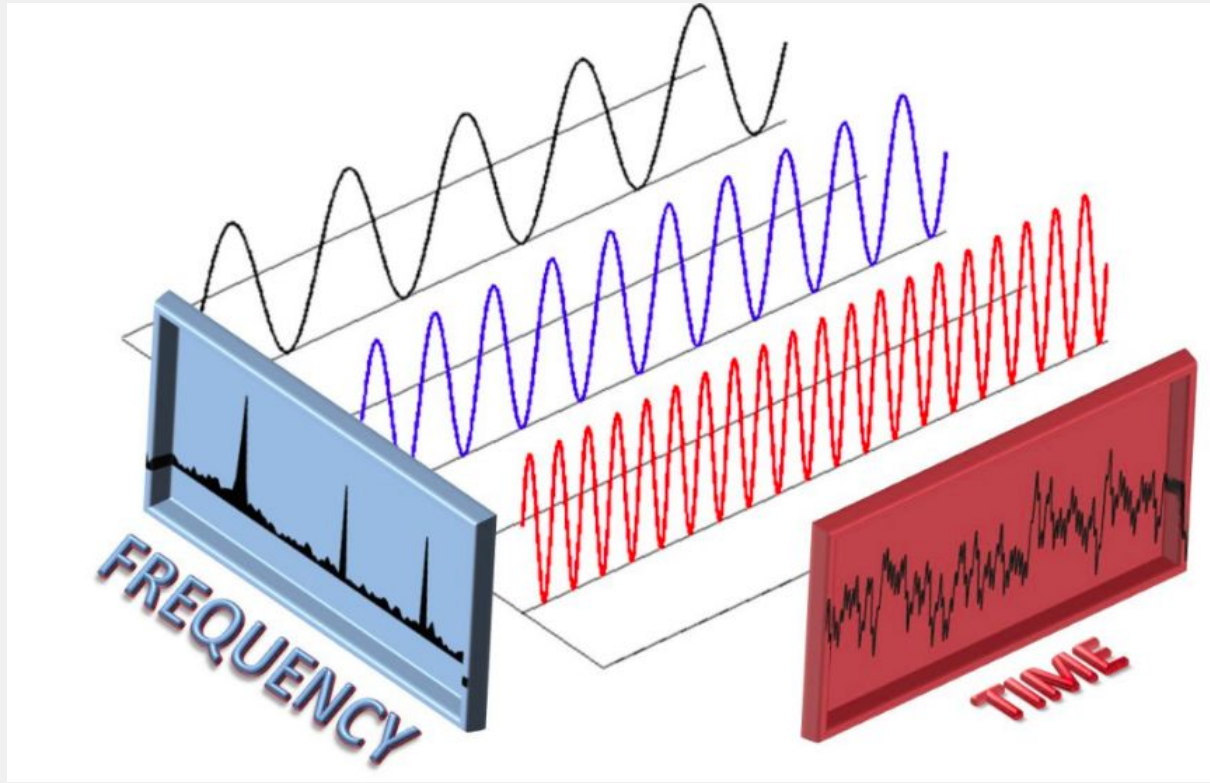
[1-3] Sources: <https://www.wasser-macht-schule.de/trinkwasser...>; <https://www.br.de/radio/...>; <https://www.bund-naturschutz.de/alpen/...>

Leckstellenerkennung in Wassernetzen



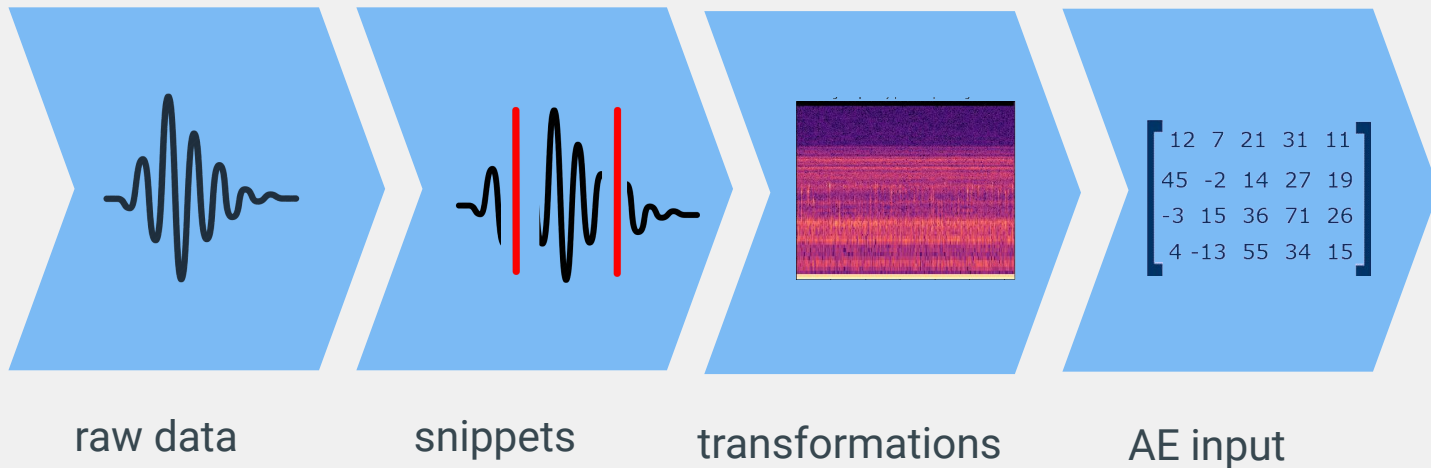
[4]: Quelle <http://www.mobile.ifi.lmu.de/lehrveranstaltungen/praktikum-innovative-mobile-applications-sose19/>

Was ist Ton und wie arbeiten wir damit?



[5] Quelle: <https://steemit.com/steemstem/@wilians/fourier-series-and-transforms-applications-part-2>

Preprocessing Pipeline



How does Anomaly Detection work in Machine Learning?

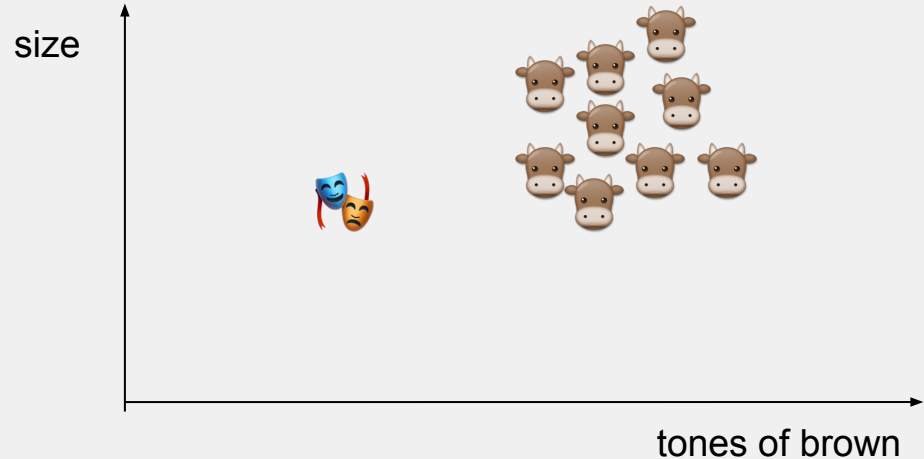
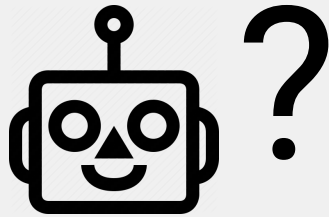


[4] Source: <https://twitter.com/pigeonjon/status/708412176306987008>

How does Anomaly Detection work in Machine Learning?



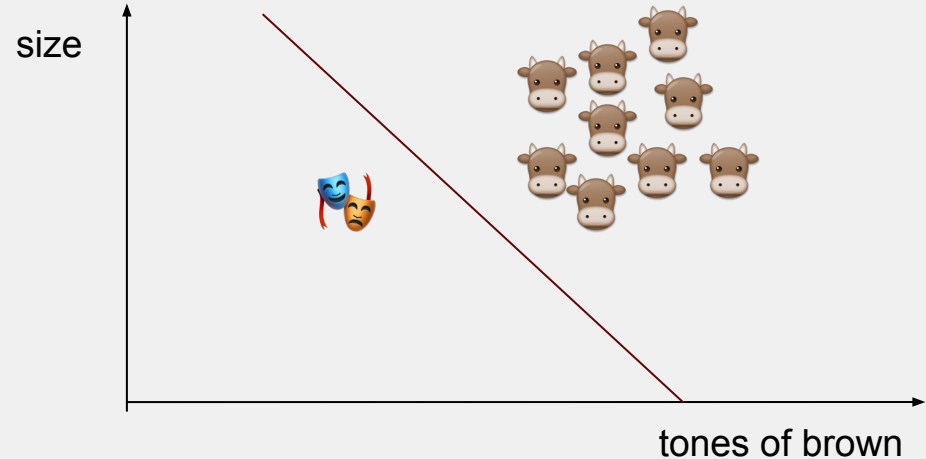
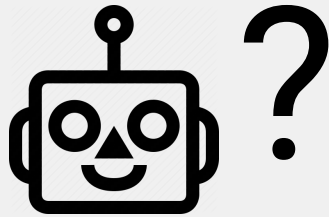
[4] Source: <https://twitter.com/pigeonjon/status/708412176306987008>



How does Anomaly Detection work in Machine Learning?



[4] Source: <https://twitter.com/pigeonjon/status/708412176306987008>



Prinzip des Autoencoders



Input

komprimieren


$$\begin{pmatrix} 0 \\ 2 \\ 1 \\ 0 \\ 3 \end{pmatrix}$$

entkomprimieren



Output

Prinzip des Autoencoders



Input

komprimieren

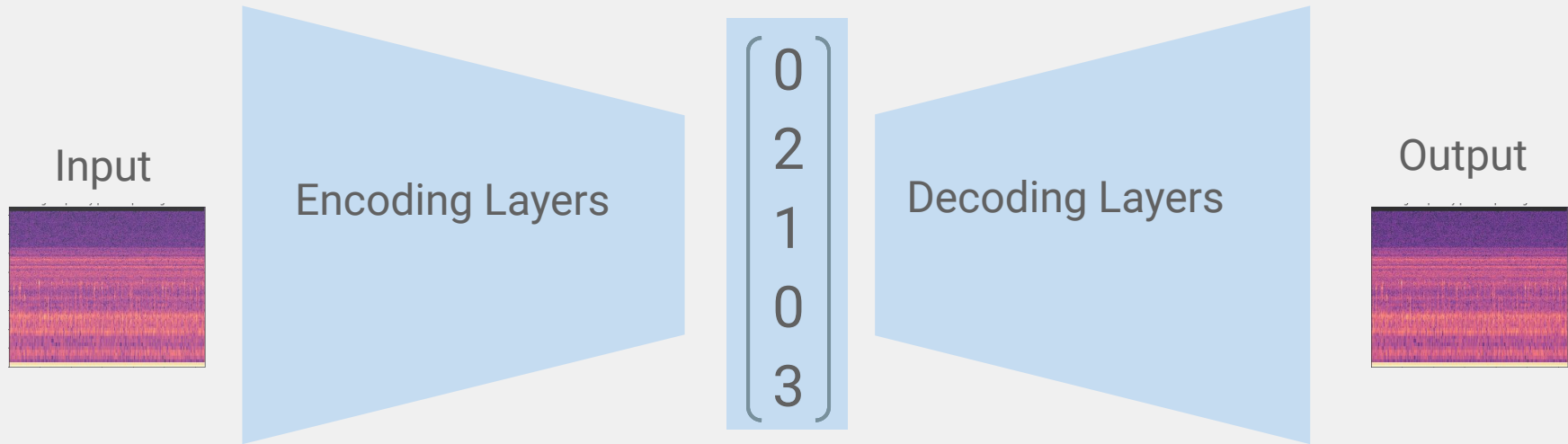

$$\begin{pmatrix} 0 \\ 2 \\ 1 \\ 0 \\ 3 \end{pmatrix}$$

entkomprimieren



Output

Architektur des Autoencoders



Architekturen des Autoencoders

Simple Autoencoder

Einfache Dense-Layers

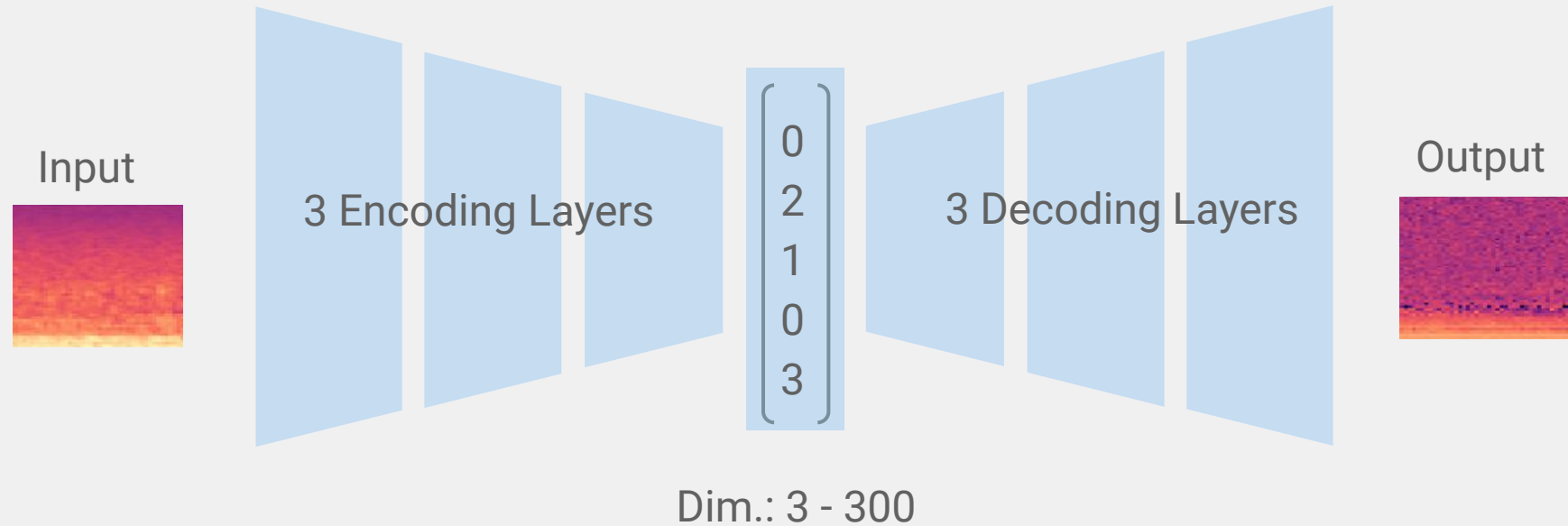
Convolutional Autoencoder

Convolutions, Max Pooling,
Dense Layers

Variational Autoencoder

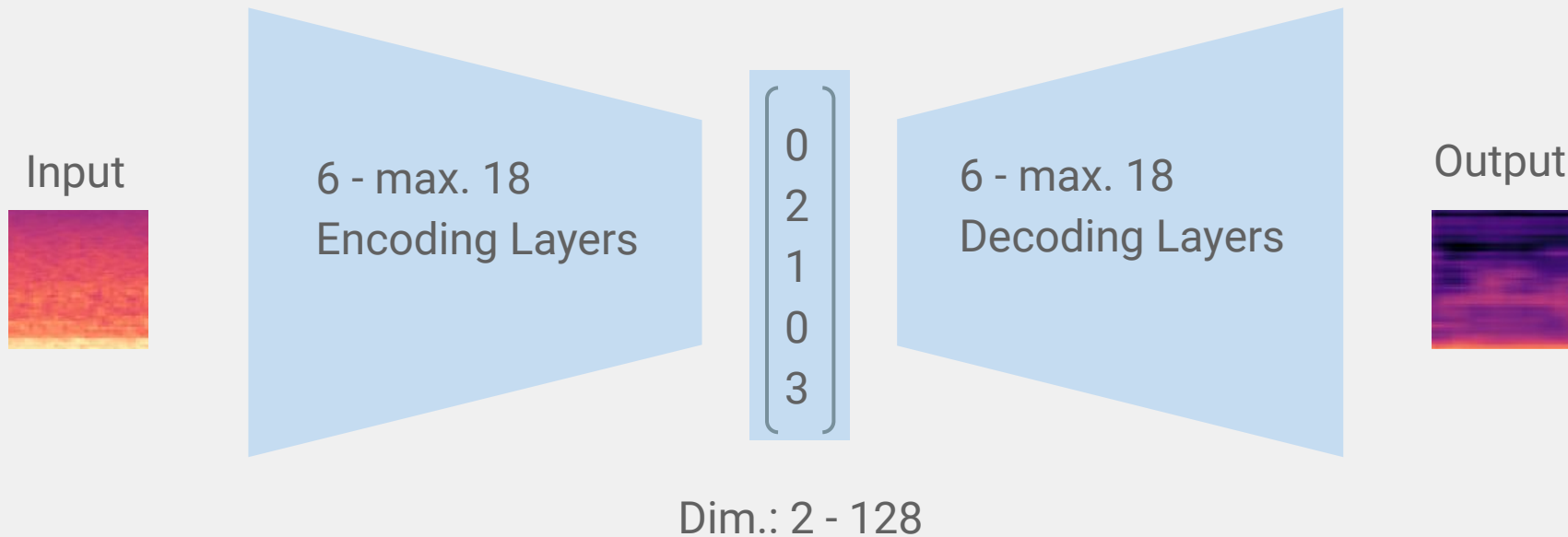
Lernt eine Verteilung der
Daten

Autoencoder Architekturen: Simple Autoencoder

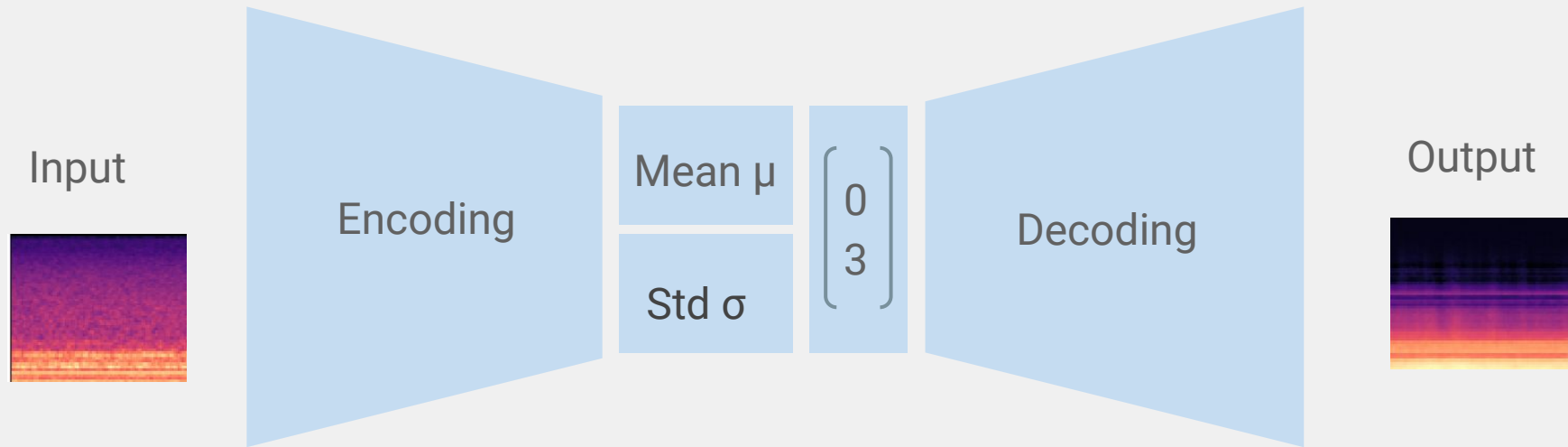


Nur Dense Layers

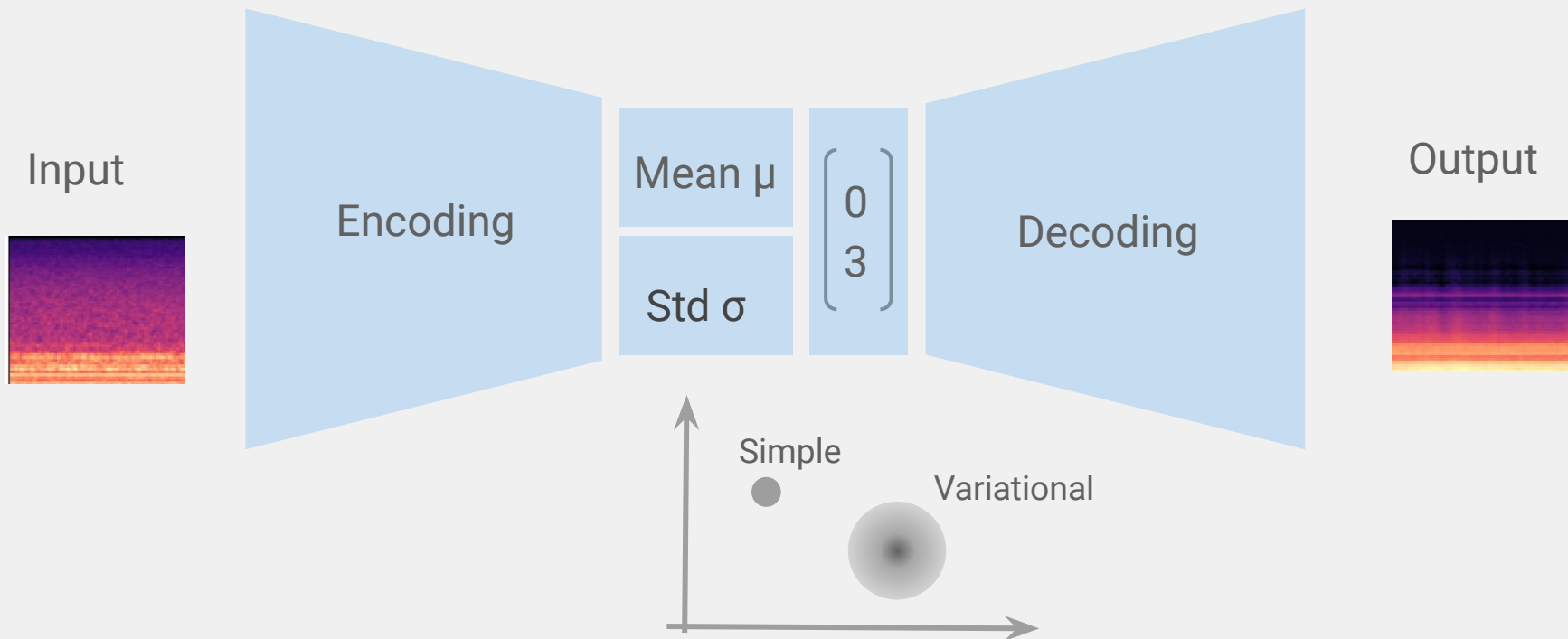
Autoencoder Architekturen: Convolutional Autoencoder (CNN)



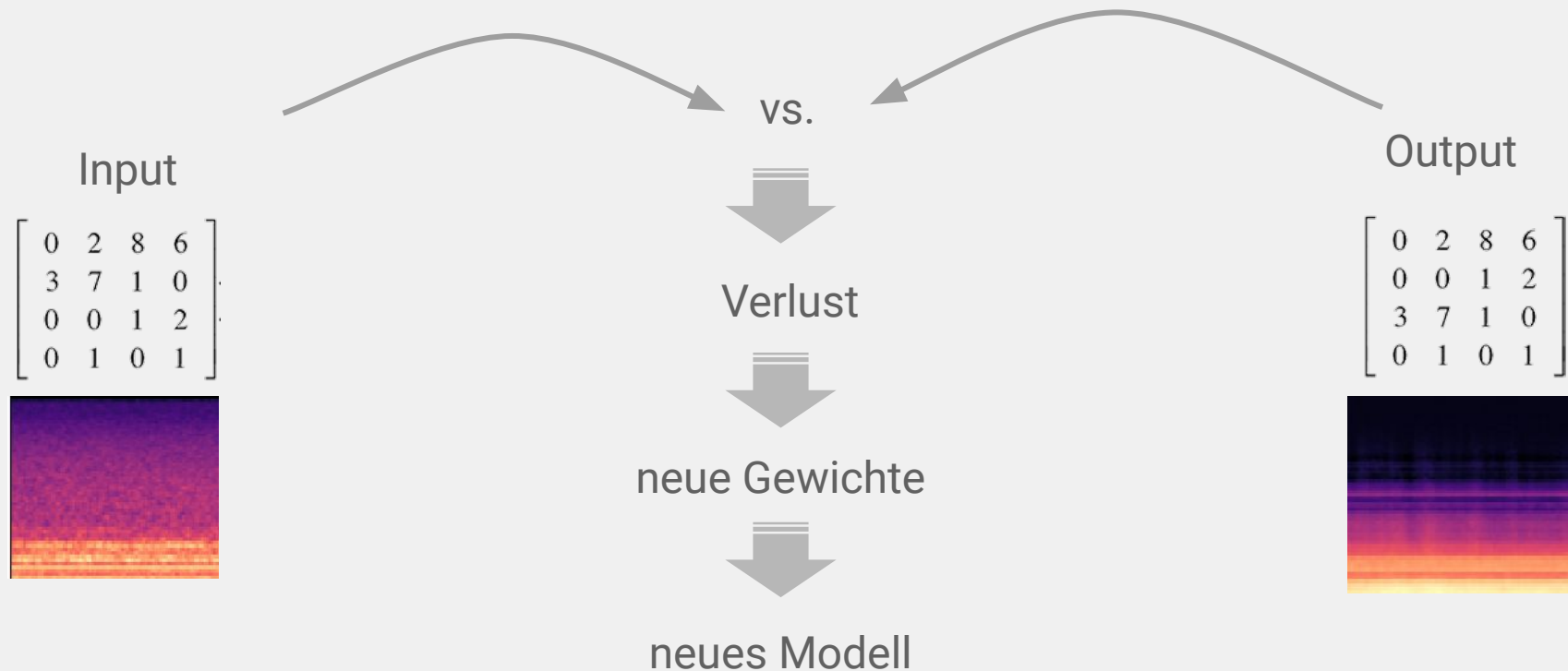
Autoencoder Architekturen: Variational Autoencoder



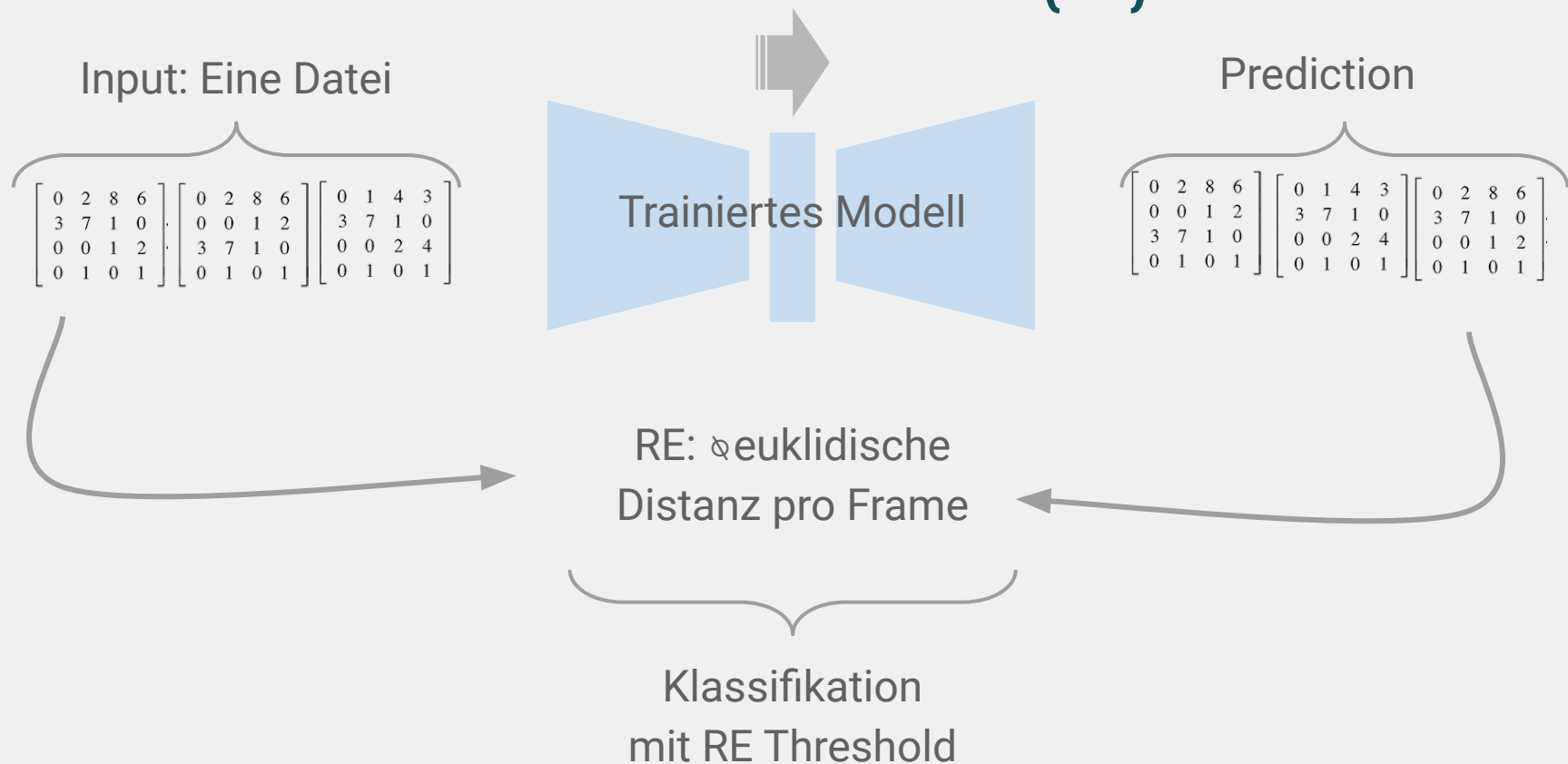
Autoencoder Architekturen: Variational Autoencoder



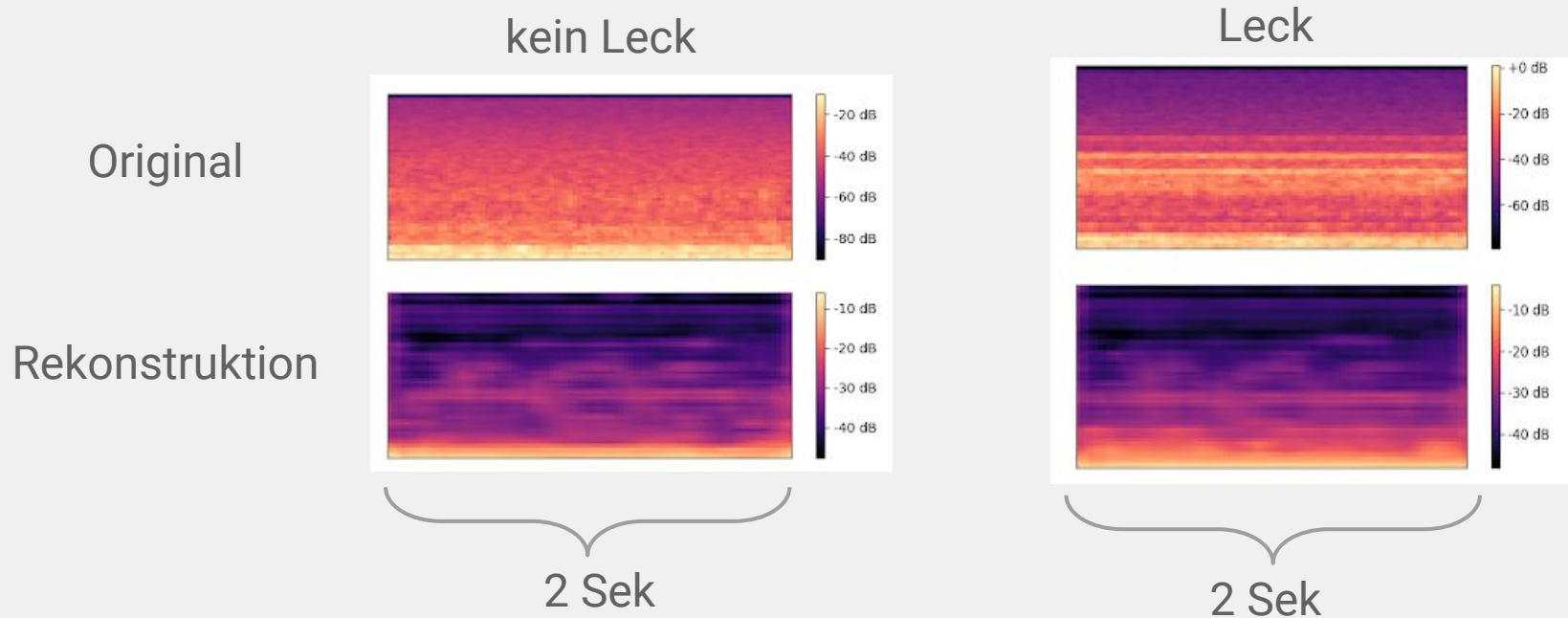
Autoencoder Architekturen: Training



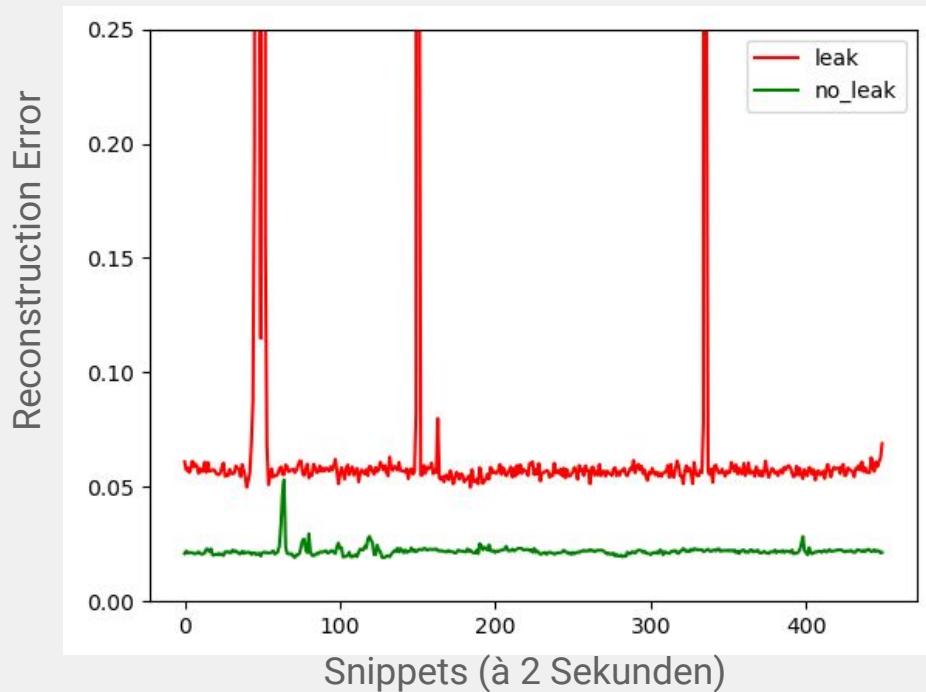
Data Classification: Reconstruction Error (RE)



Daten Klassifikation: Bsp. CNN AE



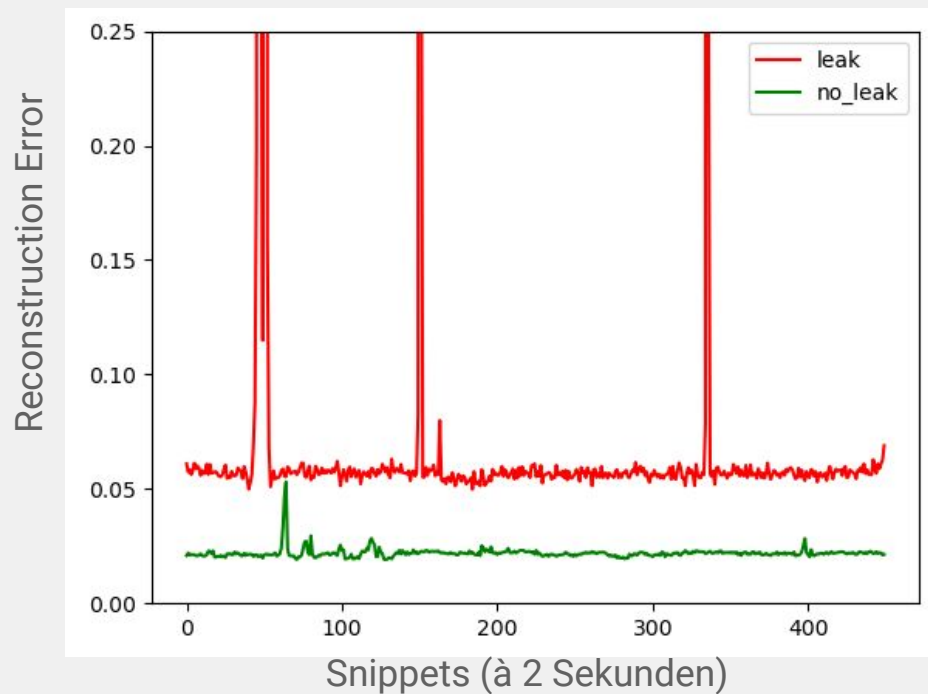
Daten Klassifikation: Reconstruction Error von zwei Dateien



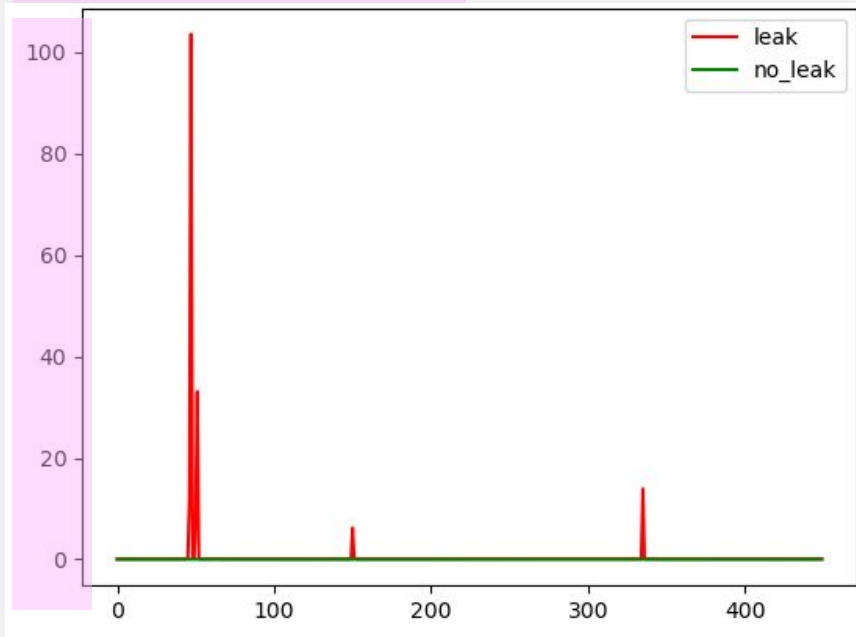
CNN-Autoencoder mit 6 Layers,
Encoding-Dim. 2,
30 Epochen lang trainiert

Jeweils eine Beispiel-Audiodatei mit
Leck (rot) vs. eine ohne Leck (grün)

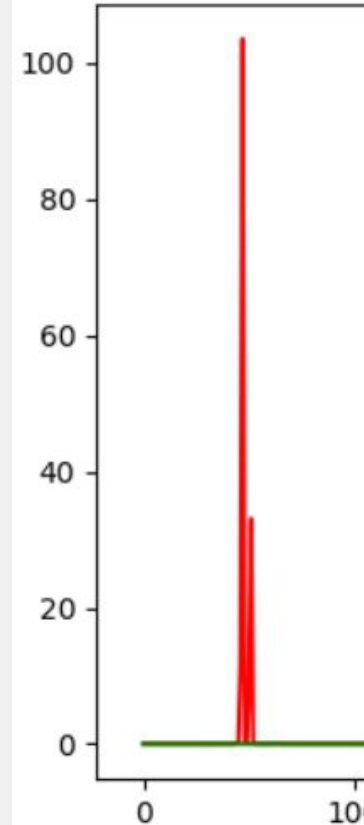
Daten Klassifikation: Reconstruction Error



Herausgezoomte y-Achse:

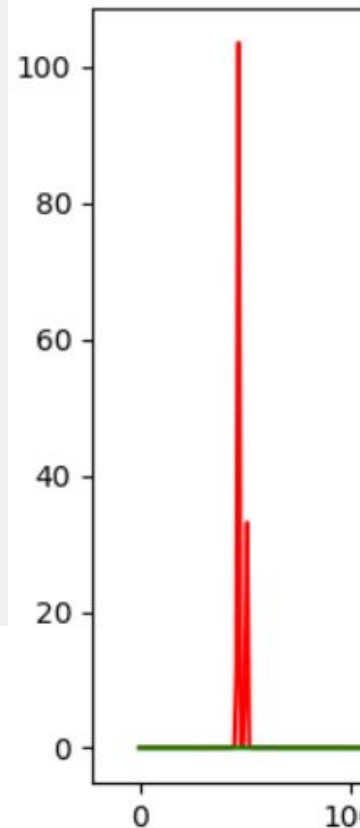
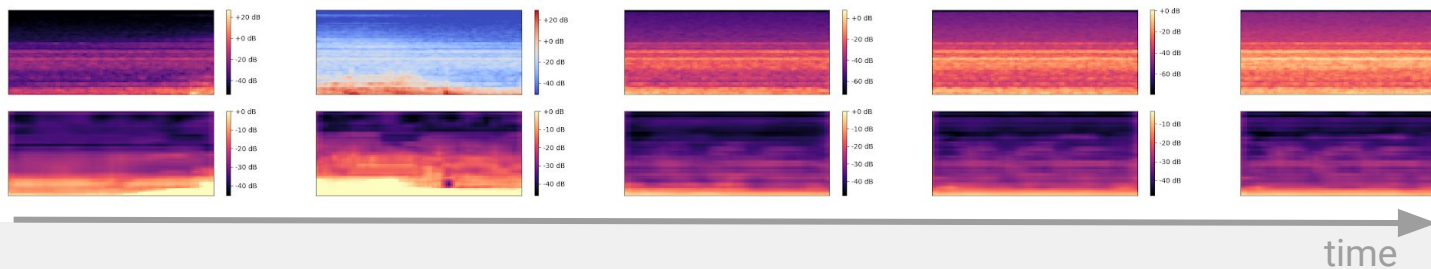
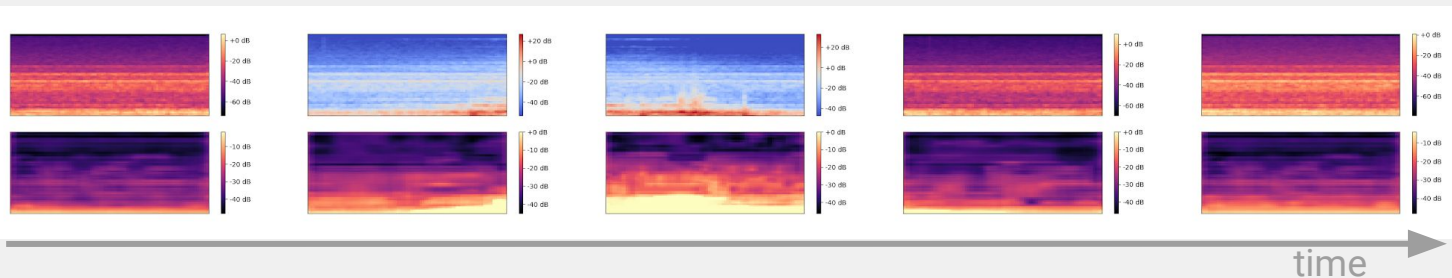


Daten Klassifikation: Reconstruction Error



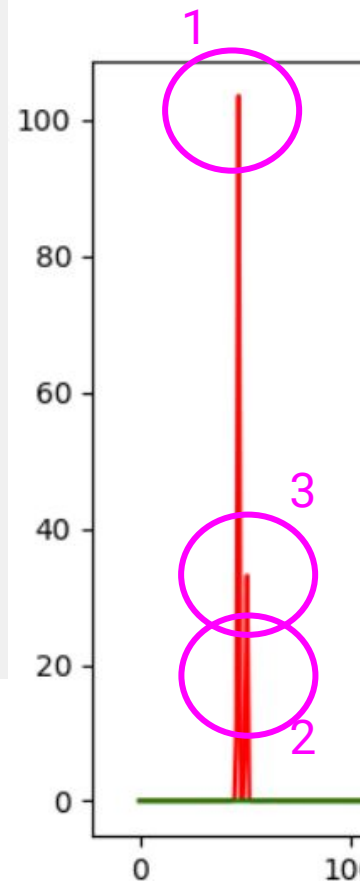
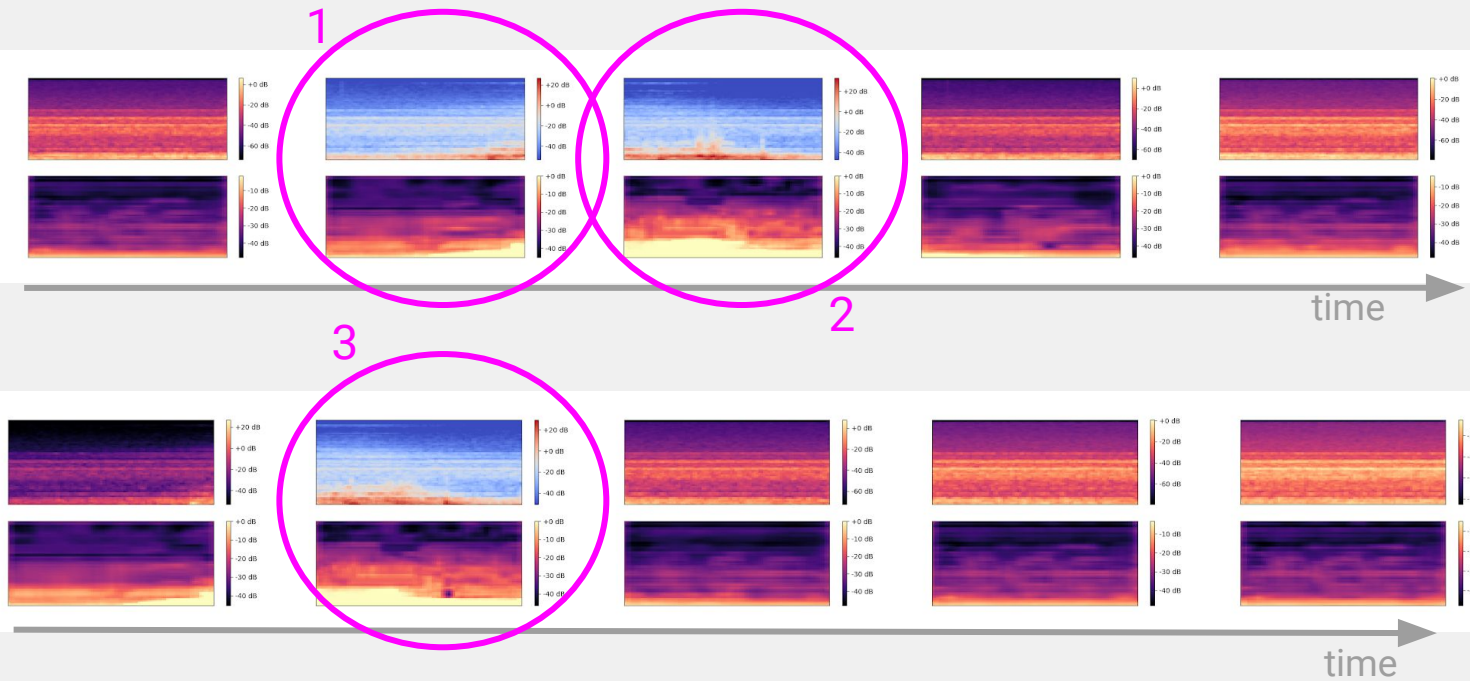
Daten Klassifikation: Reconstruction Error

Leck-Spektrogramme der Snippets: Input (o.) vs. Prediction (u.)

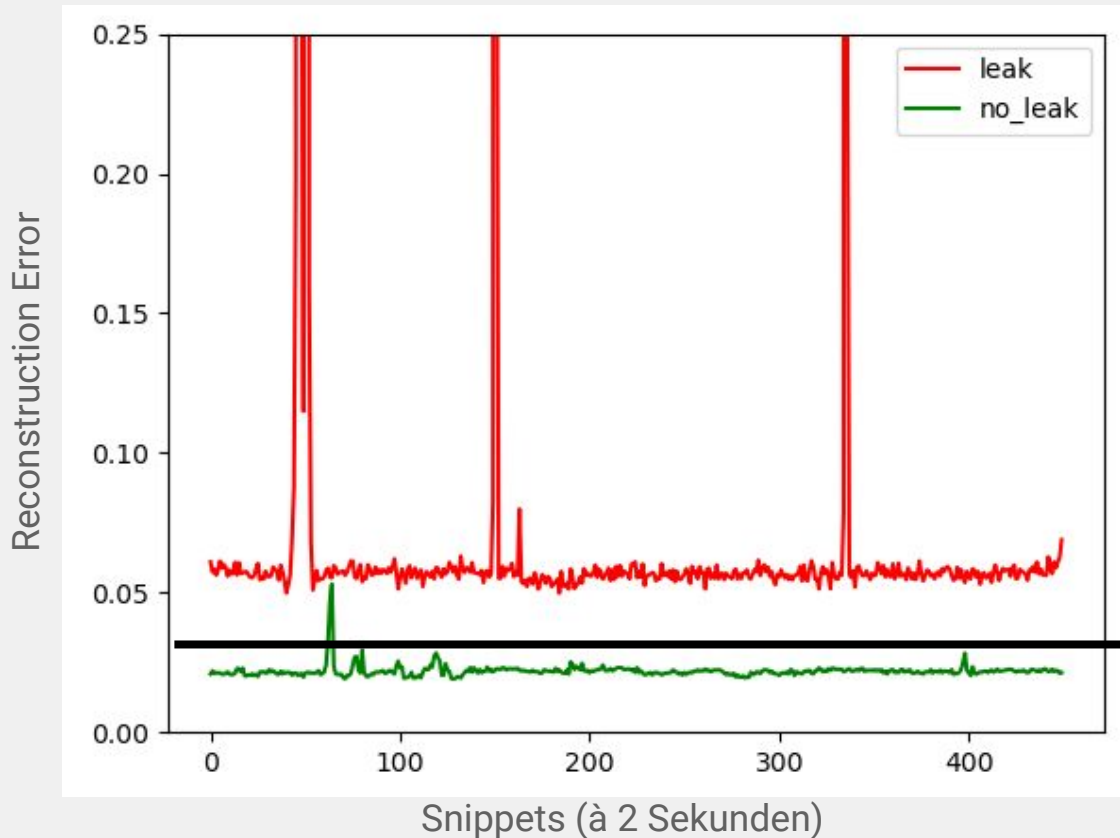


Daten Klassifikation: Reconstruction Error

Leck-Spektrogramme der Snippets: Input (o.) vs. Prediction (u.)

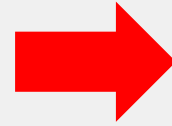
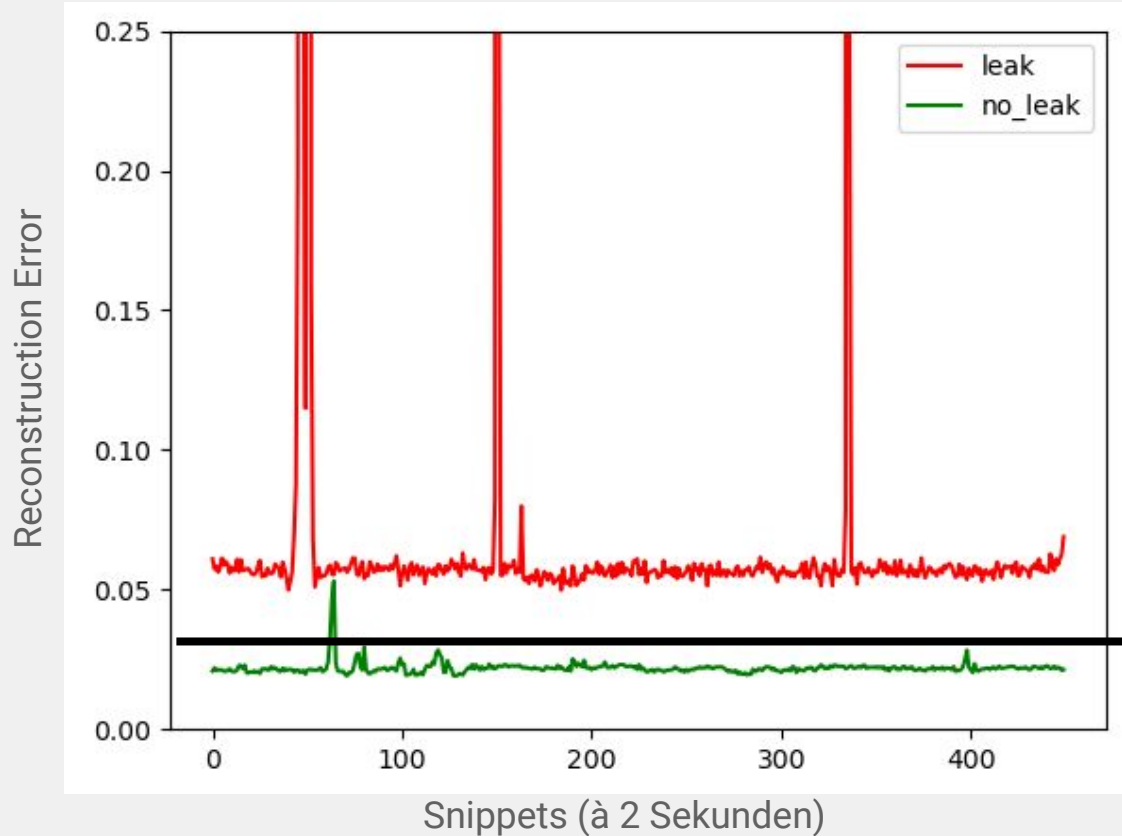


Klassifikation anhand eines Threshold



Bsp. für Threshold:
Mean + Std
von Leak data

Klassifikation anhand eines Threshold



Leck

Bsp. für Threshold:
Mean + Std
von Leak data



Kein Leck

Klassifikation anhand eines Threshold

$$\begin{bmatrix} 0 & 2 & 8 & 6 \\ 0 & 0 & 1 & 2 \\ 3 & 7 & 1 & 0 \\ 0 & 1 & 0 & 1 \end{bmatrix} \begin{bmatrix} 0 & 1 & 4 & 3 \\ 3 & 7 & 1 & 0 \\ 0 & 0 & 2 & 4 \\ 0 & 1 & 0 & 1 \end{bmatrix} \begin{bmatrix} 0 & 2 & 8 & 6 \\ 3 & 7 & 1 & 0 \\ 0 & 0 & 1 & 2 \\ 0 & 1 & 0 & 1 \end{bmatrix}$$



3.425



6.671



7.425

Input Datei
in Snippets

Reconstruction
errors

Klassifikation anhand eines Threshold

$\begin{bmatrix} 0 & 2 & 8 & 6 \\ 0 & 0 & 1 & 2 \\ 3 & 7 & 1 & 0 \\ 0 & 1 & 0 & 1 \end{bmatrix}$	$\begin{bmatrix} 0 & 1 & 4 & 3 \\ 3 & 7 & 1 & 0 \\ 0 & 0 & 2 & 4 \\ 0 & 1 & 0 & 1 \end{bmatrix}$	$\begin{bmatrix} 0 & 2 & 8 & 6 \\ 3 & 7 & 1 & 0 \\ 0 & 0 & 1 & 2 \\ 0 & 1 & 0 & 1 \end{bmatrix}$
--	--	--



3.425



0



6.671



1



7.425



1

Input Datei
in Snippets

Reconstruction
Errors

Scores von Snippets

Bsp. Threshold: 0.4

Klassifikation anhand eines Threshold

$$\begin{bmatrix} 0 & 2 & 8 & 6 \\ 0 & 0 & 1 & 2 \\ 3 & 7 & 1 & 0 \\ 0 & 1 & 0 & 1 \end{bmatrix} \begin{bmatrix} 0 & 1 & 4 & 3 \\ 3 & 7 & 1 & 0 \\ 0 & 0 & 2 & 4 \\ 0 & 1 & 0 & 1 \end{bmatrix} \begin{bmatrix} 0 & 2 & 8 & 6 \\ 3 & 7 & 1 & 0 \\ 0 & 0 & 1 & 2 \\ 0 & 1 & 0 & 1 \end{bmatrix}$$



3.425



0



6.671



1



7.425



1



0.666 Leck!

Input Datei
in Snippets

Reconstruction
Errors

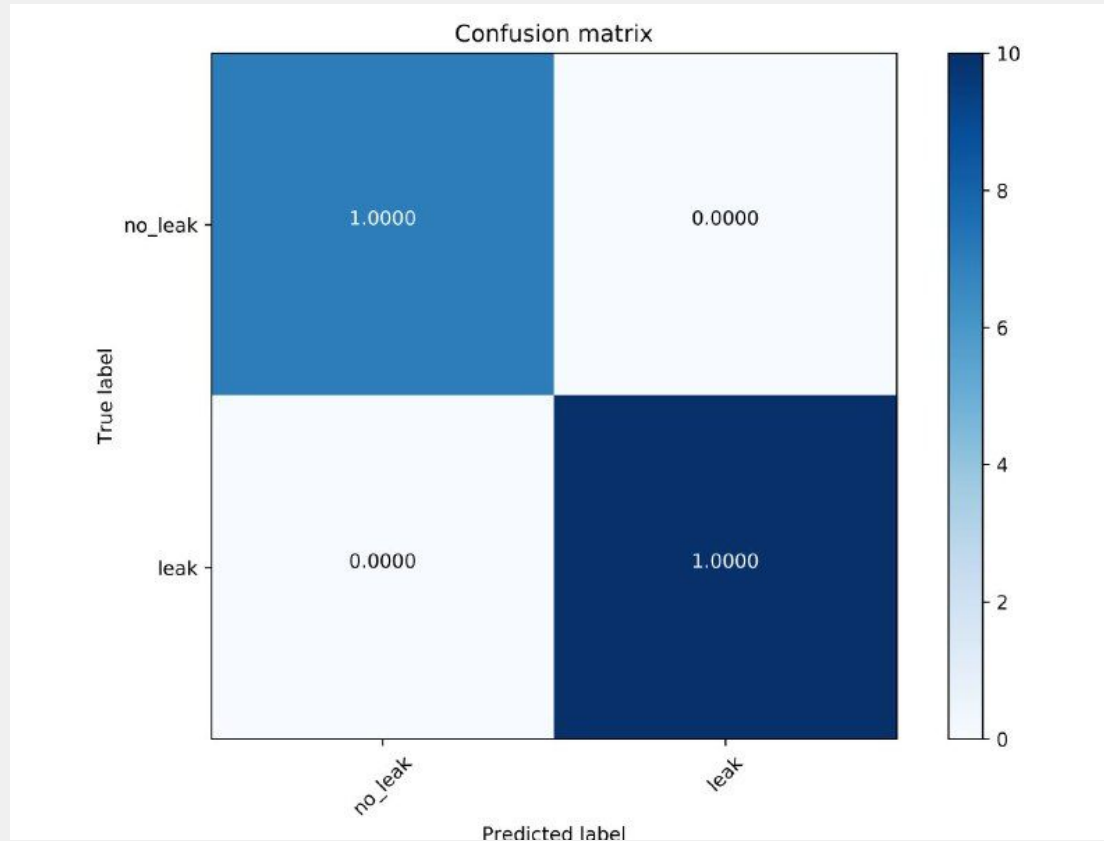
Scores von Snippets

Score von Input Datei

Bsp. Threshold: 0.4

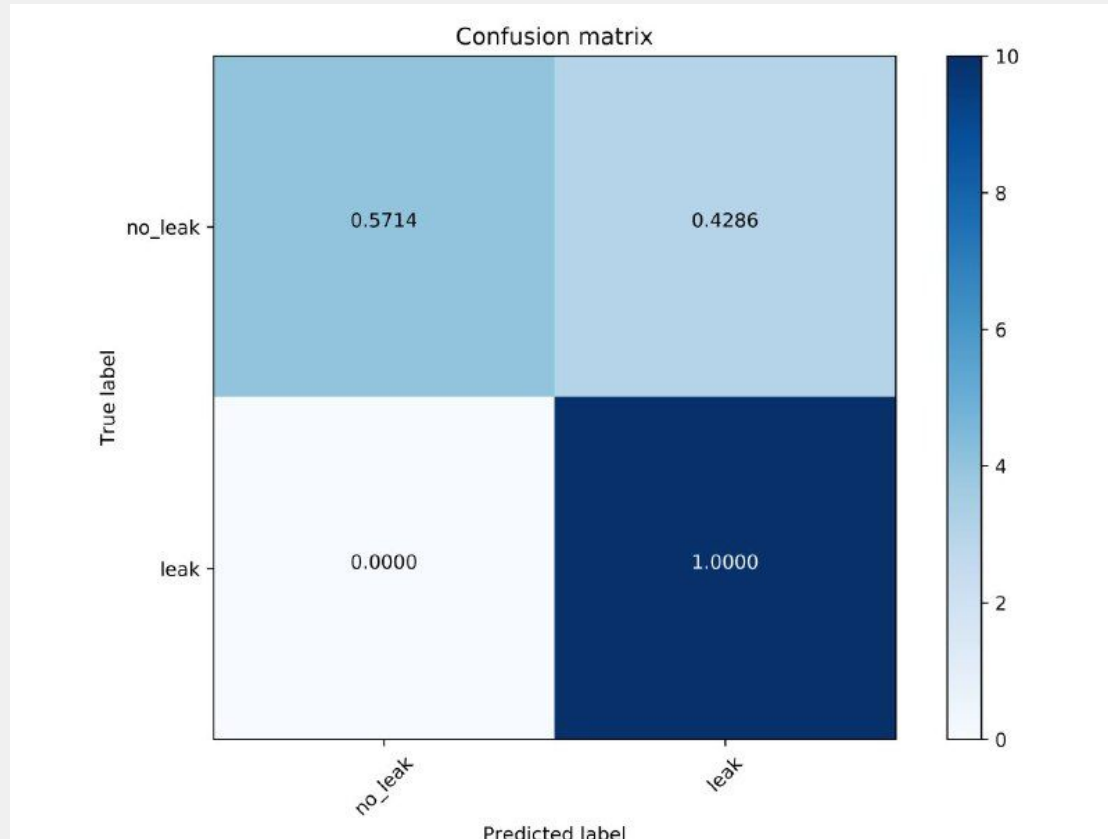
Evaluation: Konfusionsmatrix

CNN mit 2D



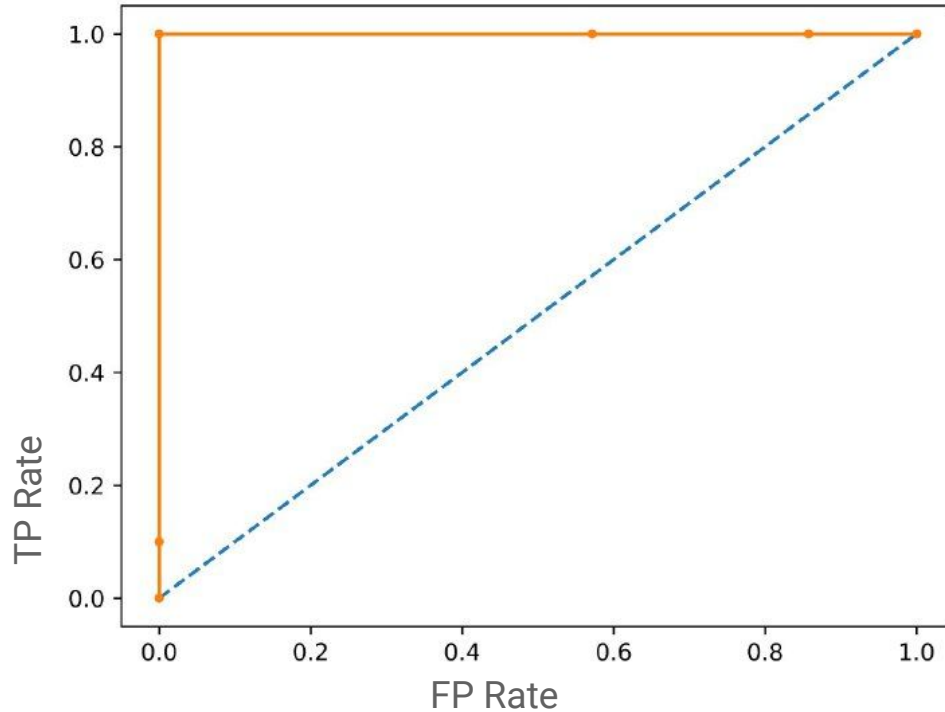
Evaluation: Konfusionsmatrix

SAE mit 10D



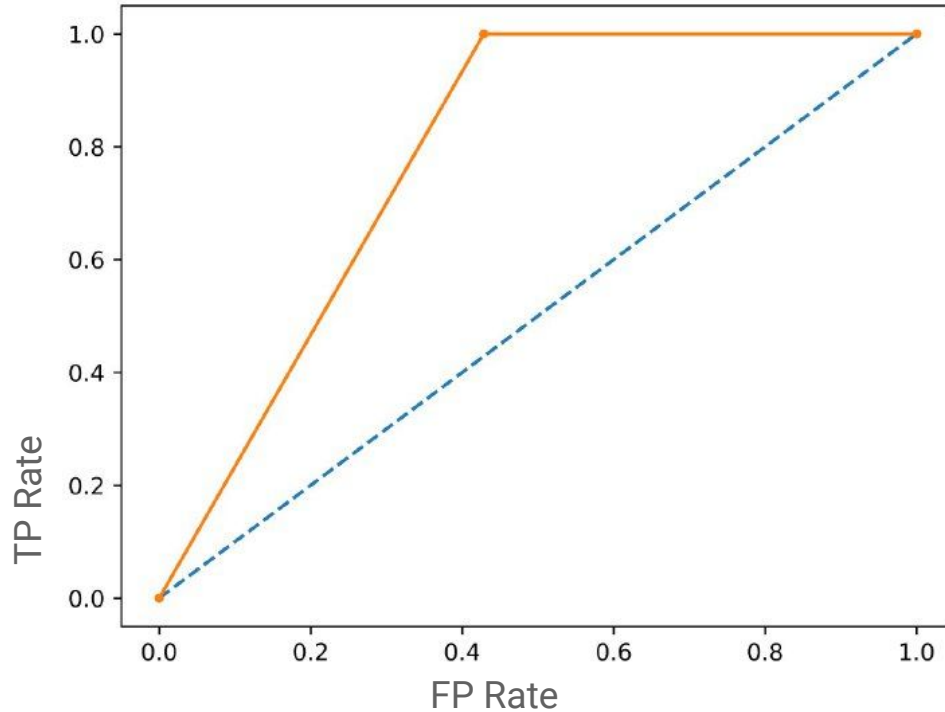
Evaluation: ROC AUC Kurve

CNN mit 2D



Evaluation: ROC AUC Kurve

SAE mit 10D



Fazit

Erfolge:

- Pipeline Setup auf unterschiedliche Systeme
- Deep-Learning-Methoden vielversprechend
- Spannende Erkenntnisse durch Analyse

Ausblick:

- Vereinzelte Fehlklassifikationen verbessern
- Mehr Experimente